

五洋建設株式会社

正員 三藤 正明

㈱協和コンサルタント 正員 竹内 则雄

東京大學生産技術研究所 正員 川井 忠彦

1. まえがき ～～川井によって提案された新離散化モデルを用いた粘塑性地盤上の梁について行った解析結果は、すでに発表した。本論文では、ひき続き粘塑性地盤上の梁の解析について述べる。地盤の粘塑性モデルとしてはBingham型の簡単なモデルを用いた。また、梁要素については、完全弾塑性体として解析を行った。解析例としては、まず簡単なモデルとして单杭をあげ、弾塑性解と比較することにより本モデルの有効性を検討し、さらに門型ラーメンに荷重を急速に載荷させた場合と緩慢に載荷させた場合の2通りを考え、荷重の変化による構造物に与える影響を調べた。

2. 粘塑性モデル ～～図-1はBingham型の粘塑性モデルを示す。ここで、全変位量を $\gamma$ 、弹性変位量 $\gamma^e$ と粘塑性変位量 $\gamma^p$ の和で表わされる。ここで、上付きの $\cdot$ は時間に下ろした変化率を示す。

$$\dot{\gamma} = \dot{\gamma}^e + \dot{\gamma}^p \quad (1)$$

ここで、 $K$ をばね定数とすれば弹性変位増分 $\dot{\gamma}^e$ は、

$$\dot{\gamma}^e = \dot{P}/K \quad (2)$$

である。粘塑性変位増分 $\dot{\gamma}^p$ は、 $\eta$ を粘性係数として、

$$\dot{\gamma}^p = < P - P_g > / \eta \quad (3)$$

$$< P - P_g > = \begin{cases} 0 & |P| > |P_g| \\ P - P_g & |P| \leq |P_g| \end{cases}$$

となる。ここで、 $P_g$ は降伏応力を表す。(1), (2)式を(3)式に代入し、 $\Delta t$ を増分時間として差分表示すれば、

$$\Delta P = K \Delta \gamma - < P - P_g > K \Delta t / \eta \quad (4)$$

となる。増分荷重 $\Delta P$ と増分変位 $\Delta \gamma$ の関係が求まる。

3. 粘塑性地盤上の梁の定式化 ～～図-2に示す粘塑性地盤上の梁の平衡方程式を求める。さて、要素1と要素2の重心点における剛体変位をそれぞれ $(U_1, V_1, \theta_1), (U_2, V_2, \theta_2)$ とすれば、要素接合点での相対変位、相対回転角 $\delta_s, \phi_s$ は、

$$\delta_s = U_2 - U_1, \quad \phi_s = \theta_2 - \theta_1 \quad (5)$$

$$B = \begin{bmatrix} 1 & 0 & 0 & 1 & 0 & 0 \\ 0 & 1 & -1/2 & 0 & 1 & -1/2 \\ 0 & 0 & -1 & 0 & 0 & 1 \end{bmatrix}$$

$$U = [U_1 \quad U_2 \quad V_1 \quad V_2 \quad \theta_1 \quad \theta_2]^T$$

$$\delta = [\delta_s \quad \phi_s \quad \phi_s]^T$$

となる。また、接合部での軸力、せん断力、曲げモーメントに作用する3種類のスアリケを以下のように設定する。

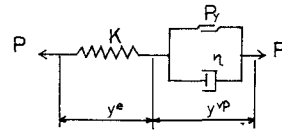


図-1 粘塑性モデル

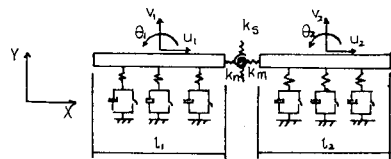


図-2 粘塑性地盤上の新しく梁要素

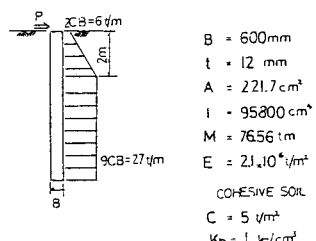


図-3 数値計算モデルと材料定数

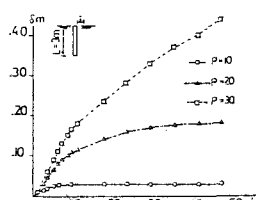


図-4 相対変位の経時図(短い杭)

$$D = \begin{bmatrix} K_n & 0 & 0 \\ 0 & K_s & 0 \\ 0 & 0 & K_h \end{bmatrix} \quad K_n = 2EA/l \quad K_s = 2EI/l \quad K_h = 2EI/l \quad l = l_1 + l_2$$
(6)

ここで、 $EJ$ は曲げ剛性、 $GA$ はせん断剛性、 $EA$ は軸剛性であり、 $\alpha$ は有効せん断係数である。いま、要素1と要素2の任意点における鉛直方向変位をそれぞれ $y_1$ 、 $y_2$ とするならば、

$$y_1 = N_{11}U \quad N_{11} = \begin{bmatrix} L & 0 & 1 & x & 0 & 0 & 0 \end{bmatrix} \quad (7)$$

$$y_2 = N_{22}U \quad N_{22} = \begin{bmatrix} L & 0 & 0 & 0 & 0 & 1 & x \end{bmatrix} \quad (8)$$

となる。また、車心点に作用する荷重を

$$F = \begin{bmatrix} X_1 & Y_1 & M_1 & X_2 & Y_2 & M_2 \end{bmatrix}^T \quad (9)$$

とすれど、環形の仮想仕事式より

$$\delta U \Delta F = \delta \Delta \theta \cdot D \cdot F + \int \delta A y_1 \cdot dP_1 dx + \int \delta A y_2 \cdot dP_2 dx \quad (10)$$

が得られる。式を展開すると

$$\Delta F = \{ [K] + [K_1] + [K_2] \} \Delta U + \Delta P \quad (11)$$

となる。ここで、

$$[K] = B^T \cdot D \cdot B \quad (12)$$

$$[K_1] = \int K_1^T \cdot K \cdot N_1 dx \quad (13)$$

$$[K_2] = \int N_2^T \cdot K \cdot N_2 dx \quad (14)$$

$$\Delta P = -K_1 A t / h \cdot \int N_1 \cdot (P_1 - P_{1g}) dx - K_2 A t / h \cdot \int N_2 \cdot (P_2 - P_{2g}) dx \quad (15)$$

である。

4. 数値計算 --- 図-4は短い杭について、杭頭の変位を時刻ごとにプロットしたものであり、崩壊荷重は $25^\circ$ ~ $25^\circ$ の間にある。同じモデルを弾塑性解で求めると崩壊荷重は $25^\circ$ である。図-5は長い杭についても同様に示す。弾塑性解で崩壊荷重は $55^\circ$ であり、ほぼ妥当な解だとと思われる。次に図-6に示す門型ラーメンのモデル図を示す。図-7に弾塑性解を示す。図中か番号は破壊の順番を示し、崩壊荷重は $45^\circ$ である。弾塑性解析では荷重を急速に載荷させた場合と緩めに載荷させた場合の2ケースを行った。図-8、図-9より、いずれもも $55^\circ$ で崩壊モードを示しておらずとかなり、弾塑性解での崩壊荷重 $55^\circ$ と比較して、ほぼ妥当な解であることがわかる。

5. まとめ --- 以上によって建築構造工新離散化モデルの梁要素を用いて弾塑性地盤上梁の解析を行つた。解析モデルとしては地中杭と門型ラーメンを参考、その解を弾塑性解と比較するにヒントになり、妥当な解が得られることがわかった。本モデルは要素内変位を剛体と仮定することにより分布している質量元素を支点元素的に取り扱うことができる。計算アロケーションや簡単にするだけではなく、地盤の破壊も容易に取り扱うことができる。

6. 参考文献 --- T. Kawai : New element models in discrete structural analysis, 日本岩盤学会誌, 第14号(1977) 内、三藤、川井：新離散化モデルによる弾塑性地盤工の梁の解析、土木学会誌, VOL. 34, NO. 11 内、神尾、川井：新しい梁モデルによる地盤上梁の弾塑性解析、第2回構造工学シンポジウム論文集(1978)

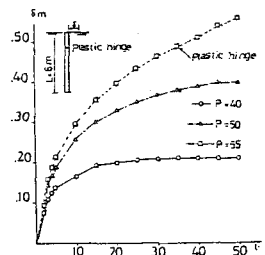


図-4 杭頭変位の経時変化図(短い杭)

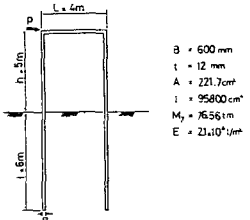


図-6 門型ラーメンモデル

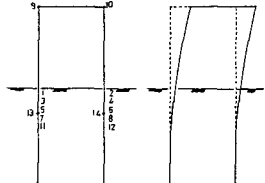


図-7 弾塑性解における破壊状況と最終変位図

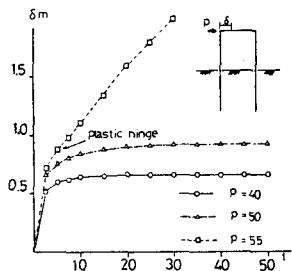


図-8 杭頭変位の経時変化図(急速載荷)

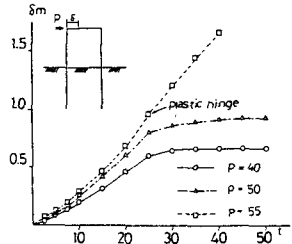


図-9 杭頭変位の経時変化図(緩め載荷)